

Quelche considerazione sul corso e sui corsi paralleli.

Diamo una panoramica sui temi appena visti de riguardano le superficie ($\text{diff.} \subseteq \mathbb{R}^3$):

① Definizioni di superficie regolare e loro spz tangente
funzioni differenziali le superficie e loro differenziali
Calcoli metrici sulle superficie : PRIMA FORMA FONDAMENTALE

② Teoria di Gauss delle curvatura:

MARCA DI GAUSS, MARCA DI WEINGARTEN,

Definizione della SECONDA FORMA FOND. e di CURVATURE

Teorema EGREGIUM di Gauss.

③ Studio delle curve contenute nelle superficie:

nif. di Frenet e di Darboux } curvatura geodetica
e normale
lincee di conevne
asintotiche
geodetiche (eq. diff. e casi particolari)

④ Cenni su esponenti più avanzati:

Teoreme di Gauss-Bonnet (chiavi di superficie)

Derivate covarianti (calcolo diff. riemannico)

Esempi strutturali delle sp (Gauss e Codazzi-Mainardi)

Teorema Fondamentale delle Superficie

* Esempi classici:

(a) piano, quadriche

(b) sfera e sue proiezioni

(c) cilindri

(d) coni

(e) suocupabili delle tg.

(f) superficie di rotazione,
tori

(g) elicoidi

(h) superficie RIGATE

....

Per dare la definizione di superficie (immersa in \mathbb{R}^3)
saremo un po' più robusti di per le curve:

un sottinsieme $S \subseteq \mathbb{R}^3$ si dice SUPERFICIE REGOLARE PARAMETRIZATA se

esiste $D \subseteq \mathbb{R}^2$, $U \subseteq \mathbb{R}^2$, $\varphi: U \rightarrow D$ funzione C^∞ con jacobiano di rango massimo ($=2$)
che induce una birezione tra U e $D \cap S$.

la funzione φ si dice parametrizzazione, l'insieme $\varphi^{-1}: D \cap S \rightarrow U$ si dice carta.

e si dice SUPERFICIE REGOLARE se per ogni $x \in S$ esiste una carta nel suo intorno o più di due
diciamo ATCANTI un insieme di carte che ricopre S .

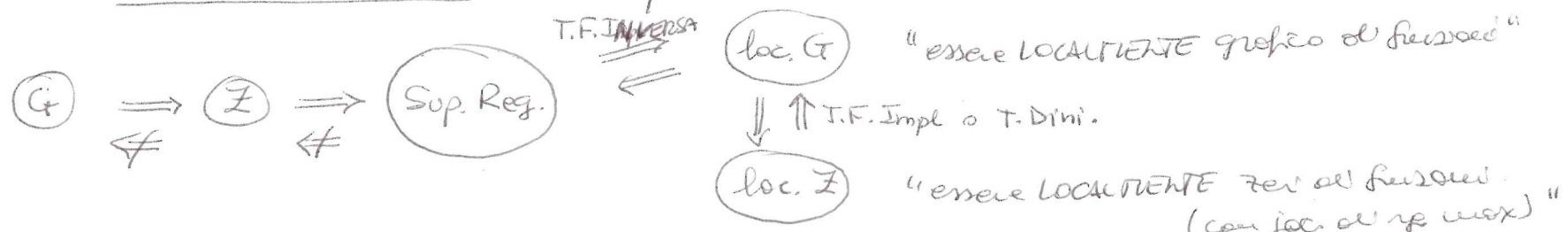
Esempi ovvi:

(1) Grafici di funzioni: se $f: \mathbb{R}^2 \rightarrow \mathbb{R}$ è funzione C^∞ , allora $\Gamma(f) = \{(x, y, z) : z = f(x, y)\}$
è superficie regolare con una carta globale.

Il viceversa è falso: di solito le sup. reg. non hanno una carta globale, né sono grafici.

(2) Zeri di funzioni: se $F: \mathbb{R}^3 \rightarrow \mathbb{R}$ è funzione C^∞ con jacobiano d'rank massimo ($=1$)
allora $Z(F) = \{(x, y, z) : F(x, y, z) = 0\}$ è sup. regolare (è localem. grafico di funzioni per Teor. Fal. Impl.)
Il viceversa è falso: di solito le sup. reg. non sono zeri di funzioni (non hanno spazio di).

Tuttavia le descrizioni locali sono equivalenti:



I pongetti de une rappresentazone all'altro usano i

teoremi d'frazioni inverse est nuficiale (Dini) e sono contenuti nisti in Analisi 2-

Vediamo le sezioni di SPAZIO (piace!) TANGENTE:

Sia S spazio reg., $P \in S$ punto: il piano tangente a S in P è il sottospazio affine di \mathbb{R}^3 passante per P e con spazio direttrice $T_P S := \{ \gamma'(0) : \gamma \text{ CURVE} \subseteq S, \gamma(0) = P \}$.

Come si verifica che $T_P S$ è sottospazio vettoriale di \mathbb{R}^3 ?

Come si rappresentano le curve $\subseteq S$?

A seconda di come rappresentiamo le superficie, abbiamo diversi modi per calcolare $T_P S$:

(P) se $\sigma: U \rightarrow \mathbb{R}^3$ parametr.: $T_P S = \text{im}(d\sigma_p: \mathbb{R}^2 \rightarrow \mathbb{R}^3)$
(immagine del differenziabile) $= \langle \sigma_u, \sigma_v \rangle$

(LG) piano tangente al grafico $= \langle \begin{pmatrix} 0 \\ f_x \\ f_y \end{pmatrix}, \begin{pmatrix} 1 \\ 0 \end{pmatrix} \rangle$

(EZ) se $F: \mathbb{R}^3 \rightarrow \mathbb{R}$: $T_P S = \ker(dF: \mathbb{R}^3 \rightarrow \mathbb{R})$
con $S = Z(F)$ (Immagine del differenziabile d'equaz.)

Notazioni di FIBRATO TANGENTE (e CAMPI TANGENTI):

$T(S) := \bigsqcup_{P \in S} T_P(S) \xrightarrow{\pi} S, \pi(P, v) = P$
da cui $\pi^{-1}(P) = T_P(S)$

chiameremo CAMPI VETTORIALI le sezioni di π ,
cioè le funzioni che ad ogni $P \in S$ associano un vettore $T_P(S)$,

e saremo E^v se v è funzione $\in C^\infty$ di P .

Note sulle strutture di $T(S)$.

CURVE SU SUPERF. (PARAMETR.):

$$\begin{array}{ccc} I & \xrightarrow{\sigma} & U \xrightarrow{\phi} \mathbb{R}^3 \\ \overset{S^1 \times \mathbb{R}}{\sim} & & \overset{(u, v)}{\sim} \mathbb{R}^2 \\ t & \mapsto & (u(t), v(t)) \mapsto r(t) \\ & & \overset{\sigma(u(t), v(t))}{\sim} \sigma(t) \end{array}$$

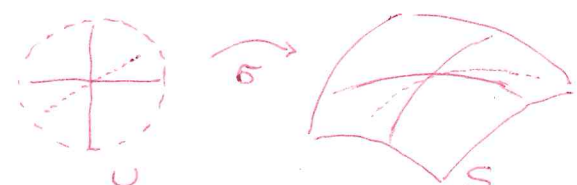
e LOCALMENTE ogni curva sulla superfcie si rappresenta così per composizione con una curva nello SPAZIO DEI PARAMETRI u, v .

Il vettore tangente è

$$\begin{aligned} \gamma' &= \frac{d}{dt} \sigma(u(t), v(t)) \\ &= \frac{\partial \sigma}{\partial u}(u(t), v(t)) \frac{du}{dt} + \frac{\partial \sigma}{\partial v}(u(t), v(t)) \frac{dv}{dt} \\ &= \sigma_u \cdot u' + \sigma_v \cdot v' \end{aligned}$$

Quindi le sezioni di π , cioè gli u, v , i vettori tangenti descrivono $\langle \sigma_u, \sigma_v \rangle$.

Note: tolte le γ con stessi u, v ,
danno le stesse tangente γ' ,
quindi possiamo usare le rette
nello spazio dei parametri!



Definizione se le funzioni differenziali le specifica
una funzione $f: S \rightarrow S'$ (superficie in \mathbb{R}^3). e' differentiale
se localmente attorno ad ogni punto $P \in S$ (∞ per S')
esistono carte tali che $\begin{matrix} S & \xrightarrow{f} & S' \\ \downarrow \circ f & & \uparrow \circ f \\ U & \dashrightarrow & V \end{matrix}$ la composizione
 $\circ^{-1} f \circ$ sia \mathcal{C}^∞ (tangenti \mathbb{R}^2).

Date una tale $f: S \rightarrow S'$, il suo differenziale
 $df: T(S) \rightarrow T(S')$ associa ad ogni punto $P \in S$

una funzione lineare (continua) $df_p: T_p(S) \rightarrow T_{f(p)}(S')$
che e' l'"approssimazione lineare di f vicino a P"
definita per ogni $v \in T_p(S)$, se $v = g'(0)$ per una
curva $g: I \rightarrow S$ (con $g'(0) = P$) come

$$df_p(v) := (f \circ g)'(0) \text{ da cui definizione } \in T_{f(p)}(S')$$

Inoltre $f \circ g: I \rightarrow S' \rightarrow S'$ e' curva con $(f \circ g)(0) = f(P)$.

Questa definizione e' ben posta, cioè

$df_p(v)$ dipende solo da v e non dalla curva g scelta:

$$df_p(v) = (f \circ g)'(0) = \sum_i \frac{\partial f}{\partial x_i}(P) \frac{\partial g^i}{\partial t}(0) = \sum_i v_i \frac{\partial f}{\partial x_i}(P) = \left(\sum_i v_i \frac{\partial}{\partial x_i} \right) f(P)$$

e corrispondendo alle vettori v con la denotazione
direzionale $\hat{v} = \sum v_i \frac{\partial}{\partial x_i}$ possiamo scrivere

$$df(v) = \hat{v}(f).$$

NOTA: non e' evidente, ma
la definizione e' equivalente a
chiedere che vicino ad ogni
punto f si "estende" ad una funzione
e' in un intorno aperto di \mathbb{R}^3 :

$$\begin{matrix} S & \xrightarrow{f} & S' \\ \downarrow & & \downarrow \\ T & \dashrightarrow & T' \end{matrix}$$

Ricordiamoci le corrispondenze tra
lettere di \mathbb{R}^n e corrispondenti direzioni
che appiono sulle
funzioni $\mathcal{C}^\infty(\mathbb{R}^n, \mathbb{R})$

$$v = \begin{pmatrix} v_1 \\ \vdots \\ v_n \end{pmatrix} \leftrightarrow \hat{v} = \sum v_i \frac{\partial}{\partial x_i} \in \mathcal{C}^\infty(\mathbb{R}^n, \mathbb{R})$$

che noi stessi apponiamo spesso v :

$$T_p(S) \ni v \leftrightarrow \hat{v} \in \mathcal{C}^\infty(S, \mathbb{R})$$

e $df(v) = \hat{v}(f)$ ($= v(f)$ per similitudine)

significa che "è differenziale di
 f calcolato nel vettore v e' la
derivata direzionale di f nella
direzione" (tutto calcolato nel punto P)

Introduzione: applicazione ai corpi vettoriali tangenti.

Se abbiamo due corpi vettoriali (tangenti), cioè vettori (tangenti) fuori del punto, possiamo pensare come operatori differenziali (di ordine 1, cioè derivazioni) e corrispondere:

se $\xi = \sum_i \xi_i d_i$ e $\eta = \sum_j \eta_j d_j$ (abbiamo $d_i = \frac{\partial}{\partial x_i}$, e ξ_i, η_j sono funzioni del punto)

$$\text{allora } \xi \circ \eta = (\sum_i \xi_i d_i) \circ (\sum_j \eta_j d_j) = \sum_{i,j} \xi_i d_i(\eta_j) d_j + \sum_{i,j} \xi_i \eta_j d_i d_j$$

$$\text{e } \eta \circ \xi = (\sum_j \eta_j d_j) \circ (\sum_i \xi_i d_i) = \sum_{i,j} \eta_j d_j(\xi_i) d_i + \sum_{i,j} \eta_j \xi_i d_i d_j$$

non sono corpi vettoriali, perché sono operatori differenziali di ordine > 1 ,

ma supponendo le funzioni ξ_i, η_j di classe C^1 , e applicando gli operatori

a funzioni di classe C^1 possiamo comunque le funzioni $d_i d_j = d_j d_i$,

$$\text{e allora } [\xi, \eta] := \xi \circ \eta - \eta \circ \xi = \sum_i \left(\sum_j \xi_i d_i(\eta_j) - \eta_j d_j(\xi_i) \right) d_i$$

è corpo vettoriale, e si chiama prodotto o crochet di Lie.

Questa operazione $[-, -]$ è quindi intesa ai corpi vettoriali
o di derivazioni, che danno facili proprietà:

(1) bilinearità

(2) alternante: $[\xi, \xi] = 0$, ovvero $[\xi, \eta] = -[\eta, \xi]$

(3) lie: $[\xi, [\eta, \varphi]] + [\eta, [\varphi, \xi]] + [\varphi, [\xi, \eta]] = 0$

In qualche caso ci sarà utile usare, ma ancora
occorre metodi elementari per fare dimostrazioni,

quindi non ci saranno domande le stesse se

ALGEBRA DI LIE, che però ad un certo punto diventa un po' spudore.

venno tenuti come operatori
sulle funzioni $f \in C^\infty(-, \mathbb{R})$:

$$(\xi \circ \eta)(f) = \xi(\eta(f)) =$$

$$= (\sum_i \xi_i d_i) (\sum_j \eta_j d_j(f)) =$$

$$= \sum_i \xi_i d_i (\sum_j \eta_j d_j(f)) =$$

$$= \sum_i \sum_j \xi_i d_i (\eta_j d_j(f)) + \eta_j d_j (\xi_i d_i(f)) =$$

$$= \sum_{i,j} \xi_i d_i (\eta_j d_j(f)) + \sum_{i,j} \eta_j d_j (\xi_i d_i(f)) =$$

$$= \left(\sum_{i,j} \xi_i d_i (\eta_j d_j) + \sum_{i,j} \eta_j d_j (\xi_i d_i) \right) (f)$$

e si moltiplica e fare il calcolo
scrivere le f ...

Dopo questi preliminari generali,

veniamo alle prime definizioni importanti per le superficie:

le PRIMI FORMA FONDAMENTALI di codifica tutti i CALCOLI METRICI sulla superficie

Sia S superficie in \mathbb{R}^3 , $\sigma: U \rightarrow S$ parametrizzazione locale di S con $(u, v) \mapsto \sigma(u, v)$
 (oppure $(u_1, u_2) \mapsto \sigma(u_1, u_2)$)

diciamo PRIMA FORMA FOND. di S nel punto $P \in S$ la rappresentazione del prodotto scalare di \mathbb{R}^3 a $T_p(S)$,
 quindi la pff I associa ad ogni $P \in S$ una forma bilineare definita positiva

$$I_p: T_p(S) \times T_p(S) \rightarrow \mathbb{R} \quad \text{data da } I_p(\xi, \eta) := \xi \cdot \eta.$$

Dato la parametrizzazione locale σ , una base di $T_p(S)$ è data da σ_u, σ_v (vettori di \mathbb{R}^3)

e le radice di I è $G_I = \begin{pmatrix} \sigma_u \cdot \sigma_u & \sigma_u \cdot \sigma_v \\ \sigma_v \cdot \sigma_u & \sigma_v \cdot \sigma_v \end{pmatrix}$ che si dà con $\begin{pmatrix} e & f \\ g & h \end{pmatrix}$ oppure $\begin{pmatrix} g_{11} & g_{12} \\ g_{21} & g_{22} \end{pmatrix}$

e questo viene anche indicata come $\begin{pmatrix} E & F \\ F & G \end{pmatrix}$. Unicamente è matrice 2×2 , simmetrica, $\det > 0$.
 (nel punto P).

Questa forma dunque di I dà tutte le informazioni metriche su S .

E' importante osservare che G_I è funzione dei parametri u, v , e permette di calcolare tutto quello che interessa di S in termini dello spazio dei parametri (2 variabili libere):

per esempio se ξ è vettore tangente a S , allora $\xi = x \sigma_u + y \sigma_v$ (perché $x, y \in \mathbb{R}$)

$$\text{e quindi } \xi \cdot \xi = (x, y) G_I \begin{pmatrix} x \\ y \end{pmatrix} = I \left(\begin{pmatrix} x \\ y \end{pmatrix}, \begin{pmatrix} x \\ y \end{pmatrix} \right);$$

$$\text{se } \gamma = \sigma(u(t), v(t)) \text{ è curva su } S, \text{ allora } \gamma' = u' \sigma_u + v' \sigma_v \quad \text{e} \quad \|\gamma'\| = I \left(\begin{pmatrix} u' \\ v' \end{pmatrix}, \begin{pmatrix} u' \\ v' \end{pmatrix} \right) = (u', v') G_I \begin{pmatrix} u' \\ v' \end{pmatrix}$$

e tutto si calcola in termini dello spazio dei parametri.

$$= e u'^2 + 2 f u' v' + g v'^2$$

Siano S, S' superficie ($\subseteq \mathbb{R}^3$), $f: S \rightarrow S'$ funzione diff.

Geometria 2B 2019/20

57

(1) LUNGHEZZA DI CURVA $\gamma(t) = (\gamma(u(t)), v(t)) \subseteq S$:

$$\int_{t_0}^{t_1} \|\gamma'\| dt = \int_{t_0}^{t_1} \sqrt{I(\gamma)} dt = \int_{t_0}^{t_1} \sqrt{e u^2 + 2fuv + g v^2} dt$$

$$\text{Pertanto } \|\gamma'\| = \|\begin{pmatrix} u' \\ fuv + g v \end{pmatrix}\| = (u' \cdot u') G_I(u')$$

Trovato su cosa esprimere il "quadrato delle lunghezze infinitesime" come differenze:
 $ds^2 = e du^2 + 2fdu dv + g dv^2$.

(2) ANGOLI TRA CURVE $\gamma(t) = \sigma(\gamma_1(t), \gamma_2(t))$ e
 $\delta = \sigma(\delta_1(t), \delta_2(t))$ lessanti per $P \in S$ comune:

$$\cos \varphi_p(\gamma, \delta) = \frac{\gamma' \cdot \delta'}{\|\gamma'\| \|\delta'\|} = \frac{I(\gamma')(\delta')}{\sqrt{I(\gamma')} \sqrt{I(\delta')}} =$$

$$= \frac{e \gamma'_1 \delta'_1 + f(\gamma'_1 \delta'_2 + \gamma'_2 \delta'_1) + g \gamma'_2 \delta'_2}{\sqrt{\quad} \quad \sqrt{\quad}}$$

per esempio tra le curve coordinate delle parametrizzazioni σ risulta f/\sqrt{eg} .

(Sono ortogonali sse $f=0$, sse G_I degenere).

(3) AREE DI REGIONI $R \subseteq S$:

$$\begin{aligned} A(R) &= \iint_{\sigma'(R)} \|\sigma_u \times \sigma_v\| du dv = \iint_{\sigma'(R)} \sqrt{eg - f^2} du dv \\ &= \iint_{\sigma'(R)} \sqrt{\det(I)} du dv \end{aligned}$$

e la funzione f si dice isometrica (locale)

se $d\sigma_p$ è isometrico rispetto a I_p e $I'_{f(p)}$ per ogni P ,

sse $I'_{f(p)}(d\sigma_p \xi, d\sigma_p \eta) = I_p(\xi, \eta)$ per tutti $\xi, \eta \in T_p(S)$

sse $J_p(f)^T G_I'(f) J_p(f) = G_I(f)$ per tutti P

e capita sse f rispetta le lunghezze delle curve

e le funzioni f si dice conformità

se $d\sigma_p$ è similiarietà rispetto a I_p e I'_{fp} per ogni P ,

sse $I'_{fp}(d\sigma_p \xi, d\sigma_p \eta) = \lambda(p) I_p(\xi, \eta)$

sse $J_p(f)^T G_I'(f) J_p(f) = \lambda(p) G_I(f)$

con $\lambda(p)$ scalare
che può dipendere
dal punto P .

e coglie sse f rispetta gli
angoli tra le curve.

e la funzione f si dice ISOTRAZIONE (!)

Se conserva le aree

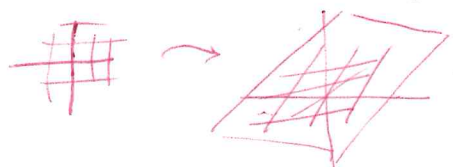
Vediamo i piani esponibili.

(1) Piano $z=0$, con corte $\begin{pmatrix} x \\ y \end{pmatrix} \mapsto \begin{pmatrix} x \\ y \end{pmatrix}$, abbiamo $\tilde{\sigma}_x = \begin{pmatrix} 1 & 0 \\ 0 & 1 \end{pmatrix}$, $\tilde{\sigma}_y = \begin{pmatrix} 0 & 1 \\ 1 & 0 \end{pmatrix}$ e $G_I = \begin{pmatrix} 1 & 0 \\ 0 & 1 \end{pmatrix}$



Si noti che le linee coordinate di $\tilde{\sigma}$ sono ortogonali tra loro e unitarie.

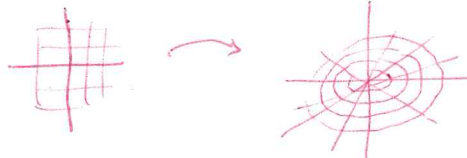
Piano $z=ax+by$ con corte $\begin{pmatrix} x \\ y \end{pmatrix} \mapsto \begin{pmatrix} x \\ y \\ ax+by \end{pmatrix}$, abbiamo $\tilde{\sigma}_x = \begin{pmatrix} 1 & 0 \\ 0 & a \end{pmatrix}$, $\tilde{\sigma}_y = \begin{pmatrix} 0 & 1 \\ b & 0 \end{pmatrix}$ e $G_I = \begin{pmatrix} 1+a^2 & ab \\ ab & 1+b^2 \end{pmatrix}$.



qui le linee coordinate di $\tilde{\sigma}$ non sono ortogonali, ma fanno un angolo fisso; non sono unitarie, ma i vettori tangenti hanno lunghezza costante.

Piano $z=0$ tolte l'origine in coordinate polari:

corte $\begin{pmatrix} r \\ \theta \end{pmatrix} \mapsto \begin{pmatrix} r \cos \theta \\ r \sin \theta \end{pmatrix}$, abbiamo $\tilde{\sigma}_r = \begin{pmatrix} \cos \theta & 0 \\ \sin \theta & 0 \end{pmatrix}$, $\tilde{\sigma}_\theta = \begin{pmatrix} -r \sin \theta \\ r \cos \theta \end{pmatrix}$ e $G_I = \begin{pmatrix} 1 & 0 \\ 0 & r^2 \end{pmatrix}$



le linee coordinate di questa trasformazione sono le rette per l'origine e i cerchi di centro origine; sono ortogonali tra loro; poi G_I non è costante rispetto ai parallelogrammi, cambia con il punto!

(2) Ellissoidi: definiti da equazione cartesiana $\frac{x^2}{a^2} + \frac{y^2}{b^2} + \frac{z^2}{c^2} = k$,
con l'equazione $= \left(\frac{2x}{a^2}, \frac{2y}{b^2}, \frac{2z}{c^2} \right)$ che è nulla solo se $x=y=z=0$ e $(0,0,0) \in$ ellisseide
se $k=0$

Quindi otteniamo una superficie per $k \neq 0$, ma è \emptyset per $k < 0$.

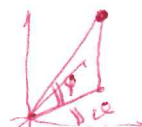
Vediamo delle possibili proiezioni 2D dei: non può esistere una corte globale (perché l'ellisseide è congiato, e gli spazi di \mathbb{R}^2 no)

(1) usando i primi coordinate che forniscono corrisponde,
per es. $(\begin{matrix} x \\ y \\ z \end{matrix}) \mapsto (\begin{matrix} x \\ y \\ \sqrt{c^2 - \frac{x^2}{a^2} - \frac{y^2}{b^2}} \end{matrix})$, sono 6 carte



(2) possiamo ricoprire l'ellisseide usando 2 carte se
usiamo coordinate sferiche:

per es. $(\theta, \varphi) \mapsto \begin{pmatrix} a \cos \varphi \cos \theta \\ b \cos \varphi \sin \theta \\ c \sin \varphi \end{pmatrix}$
 $(0, 2\pi) \times (-\frac{\pi}{2}, \frac{\pi}{2}) \rightarrow \mathbb{R}^3$



(3) onde usando proiezioni stereografiche ottengono usare
due carte (una ciascuna carta prende tutto tranne
un punto, quello di proiezione):



$$\begin{aligned} \mathbb{R}^2 &\longrightarrow \text{Ellisseide } \setminus \{N\} \\ \mathbb{P} &\longmapsto (\mathbb{P} \cap N) \cap \text{Ellisseide} \\ (\mathbb{P} \cap N) \cap \mathbb{R}^2 &\longleftarrow X \end{aligned}$$

Calcoliamo le pif nelle carte sferiche: $E = \begin{pmatrix} a \cos \varphi \cos \theta \\ b \cos \varphi \sin \theta \\ c \sin \varphi \end{pmatrix}$, $E_\theta = \begin{pmatrix} -a \cos \varphi \sin \theta \\ b \cos \varphi \cos \theta \\ 0 \end{pmatrix}$, $E_\varphi = \begin{pmatrix} -a \sin \varphi \cos \theta \\ -a \sin \varphi \sin \theta \\ c \cos \varphi \end{pmatrix}$

da cui si trova $G_1 = \begin{pmatrix} \cos^2 \varphi (b^2 \cos^2 \theta + c^2 \sin^2 \theta) & (a^2 - b^2) \cos \varphi \sin \varphi \cos \theta \sin \theta \\ \sin^2 \varphi (a^2 \cos^2 \theta + b^2 \sin^2 \theta) + c^2 \cos^2 \varphi & (a^2 - b^2) \cos \varphi \sin \varphi \cos \theta \sin \theta \end{pmatrix}$

che di solito non è diagonalizzabile, e meno che mai se $a=b$ (ellisseide di rotazione): $G_1 = \begin{pmatrix} 2^2 \cos^2 \varphi & 0 \\ 0 & 2^2 \sin^2 \varphi \end{pmatrix}$, che dipende solo da φ e non da θ ,

(3) IPERBOLOIDI: equazione cartesiana $\frac{x^2}{a^2} + \frac{y^2}{b^2} - \frac{z^2}{c^2} = k$,

con rappresentazione $\left(\frac{2x}{a}, \frac{2y}{b}, -\frac{2z}{c} \right)$ che è nulla solo per $x=y=z=0$ e $\begin{pmatrix} 0 \\ 0 \\ 0 \end{pmatrix}$ è l'origine

quindi otteniamo tre superficie regolari per $k \neq 0$ ($k \neq 0$ è un cono)

$k=0$

e soprattutto se le due facce diverse & eccede del valore di k positivo o negativo:

per $k > 0$, simmetria = 1

iperboloidale iperblico (tre fololi)

per $k < 0$, simmetria = -1

iperboloidale ellittico (due fololi)

(1) usando i primi coordinate per permettere scissio 6 corte

(1) usando il piano x,y come (piano)

bisecendo due corte, useremo così due

$$\text{fololi: } z = \pm c \sqrt{1 + \frac{x^2}{a^2} + \frac{y^2}{b^2}}$$

(2) usando coordinate "sfondo"

bisecando due corte

$$(r, \varphi) \mapsto \begin{pmatrix} a \cosh \varphi \cos r \\ b \cosh \varphi \sin r \\ c \sinh \varphi \end{pmatrix}$$

$$(0, 2\pi) \times \mathbb{R} \rightarrow \mathbb{R}^3$$



(2) usando coordinate "sfondo":

$$(r, \varphi) \mapsto \begin{pmatrix} a \sinh \varphi \cos r \\ b \sinh \varphi \sin r \\ c \cosh \varphi \end{pmatrix}$$



$$(0, 2\pi) \times \mathbb{R} \rightarrow \mathbb{R}^3$$



Calcoliamo la p.m. usando queste piste:

$$M = \begin{pmatrix} a \cosh \varphi \cos r \\ b \cosh \varphi \sin r \\ c \sinh \varphi \end{pmatrix}, \quad M_r = \begin{pmatrix} -a \sinh \varphi \cos r \\ -b \sinh \varphi \sin r \\ 0 \end{pmatrix}, \quad M_\varphi = \begin{pmatrix} a \sinh \varphi \cos r \\ b \sinh \varphi \sin r \\ c \cosh \varphi \end{pmatrix}$$

... esercizio ...

$$G_1 = \begin{pmatrix} \cosh^2 \varphi (a^2 \sin^2 r + b^2 \cos^2 r) & (b^2 - a^2) \cosh \varphi \sinh \varphi \cos r \sin r \\ (b^2 - a^2) \cosh \varphi \sinh \varphi \cos r \sin r & \sinh^2 \varphi (a^2 \cos^2 r + b^2 \sin^2 r) + c^2 \cosh^2 \varphi \end{pmatrix}$$

che nel caso $a=b$ (notazione) diventa $G_1 = \begin{pmatrix} a^2 \cosh^2 \varphi & 0 \\ 0 & a^2 \sinh^2 \varphi + c^2 \cosh^2 \varphi \end{pmatrix}$ dipende

(4) PARABOLOIDI: sono globalmente grafici di funzioni, quindi si possono vedere con le carte!

$$\text{caso iperbolico: } z = \frac{x^2}{a^2} - \frac{y^2}{b^2}$$

$$\text{caso ellittico: } z = \frac{x^2}{a^2} + \frac{y^2}{b^2}$$

possibili parametrizzazioni:

$$(1) \begin{pmatrix} x \\ y \end{pmatrix} \mapsto \begin{pmatrix} x \\ y \\ \frac{x^2}{a^2} - \frac{y^2}{b^2} \end{pmatrix} \quad \text{R}^2 \rightarrow \text{R}^3$$



$$(1) \begin{pmatrix} x \\ y \end{pmatrix} \mapsto \begin{pmatrix} x \\ y \\ \frac{x^2}{a^2} + \frac{y^2}{b^2} \end{pmatrix}$$



$$(2) (u, v) \mapsto \begin{pmatrix} au \cos \vartheta \\ bu \sin \vartheta \\ u^2 \end{pmatrix} \quad \text{R}^2 \rightarrow \text{R}^3$$

$$(2) (u, v) \mapsto \begin{pmatrix} au \cos \vartheta \\ bu \sin \vartheta \\ u \end{pmatrix} \quad \text{R}^2 \times (0, 2\pi) \rightarrow \text{R}^3$$

$$(3) (u, v) \mapsto \begin{pmatrix} a(u+v) \\ b(u-v) \\ 4uv \end{pmatrix}$$

qui si parametrizzano le rette
del parabolide come linee
coordinate delle parametrisazioni

... esercizio ...

Pf. uscendo ②:

$$P_u = \begin{pmatrix} 2a\cos \vartheta \\ b\sin \vartheta \\ 2u \end{pmatrix}, P_v = \begin{pmatrix} 2u\sin \vartheta \\ bu\cos \vartheta \\ 0 \end{pmatrix}, G_1 = \begin{pmatrix} a^2\cos^2 \vartheta + b^2\sin^2 \vartheta + 4u^2 & (a^2+b^2)u\sin \vartheta \cos \vartheta \\ u(a^2\sin^2 \vartheta + b^2\cos^2 \vartheta) & u^2(a^2\sin^2 \vartheta + b^2\cos^2 \vartheta) \end{pmatrix}$$

e uscendo ③:

$$P_u = \begin{pmatrix} 2 \\ b \\ 4u \end{pmatrix}, P_v = \begin{pmatrix} 2 \\ -b \\ 4u \end{pmatrix}, G_1 = \begin{pmatrix} a^2 + b^2 + 16u^2 & a^2b^2 + 16u^2 \\ a^2 + b^2 + 16u^2 & a^2 + b^2 + 16u^2 \end{pmatrix}.$$

Domande: che angoli formano le rette dalle due schiene?